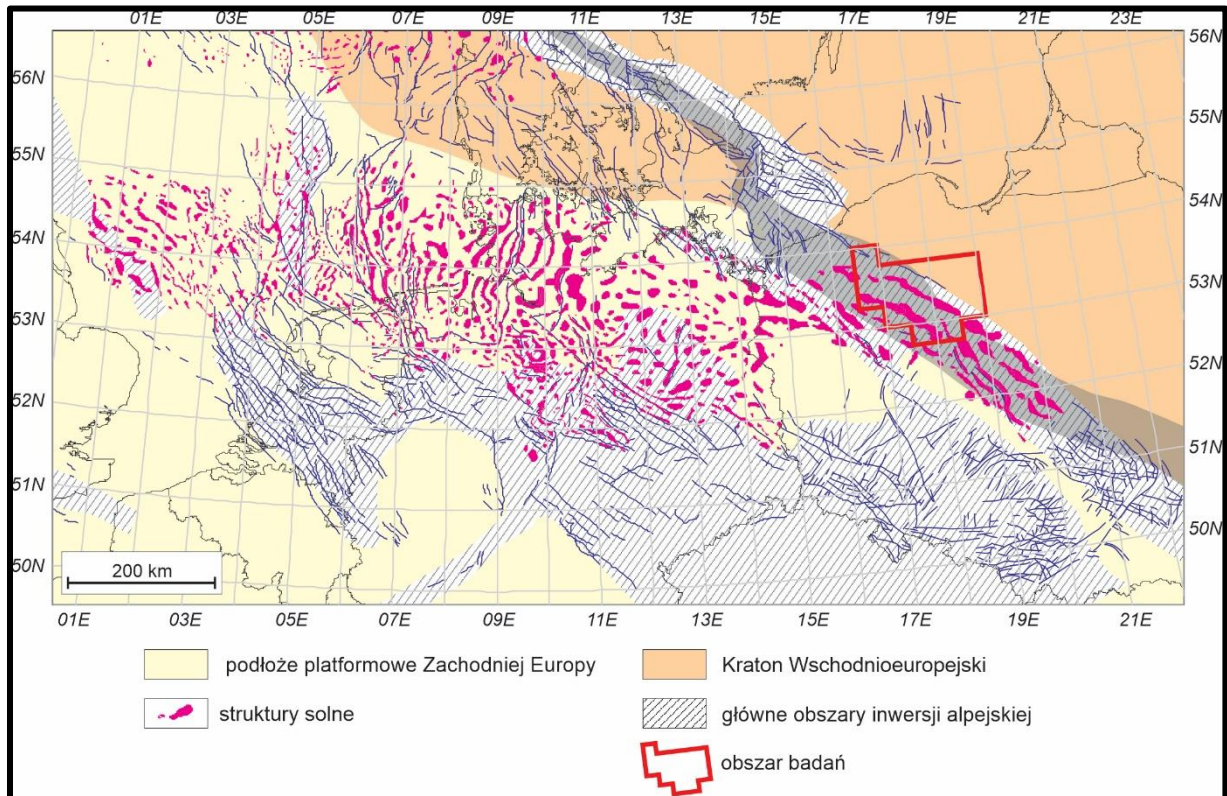


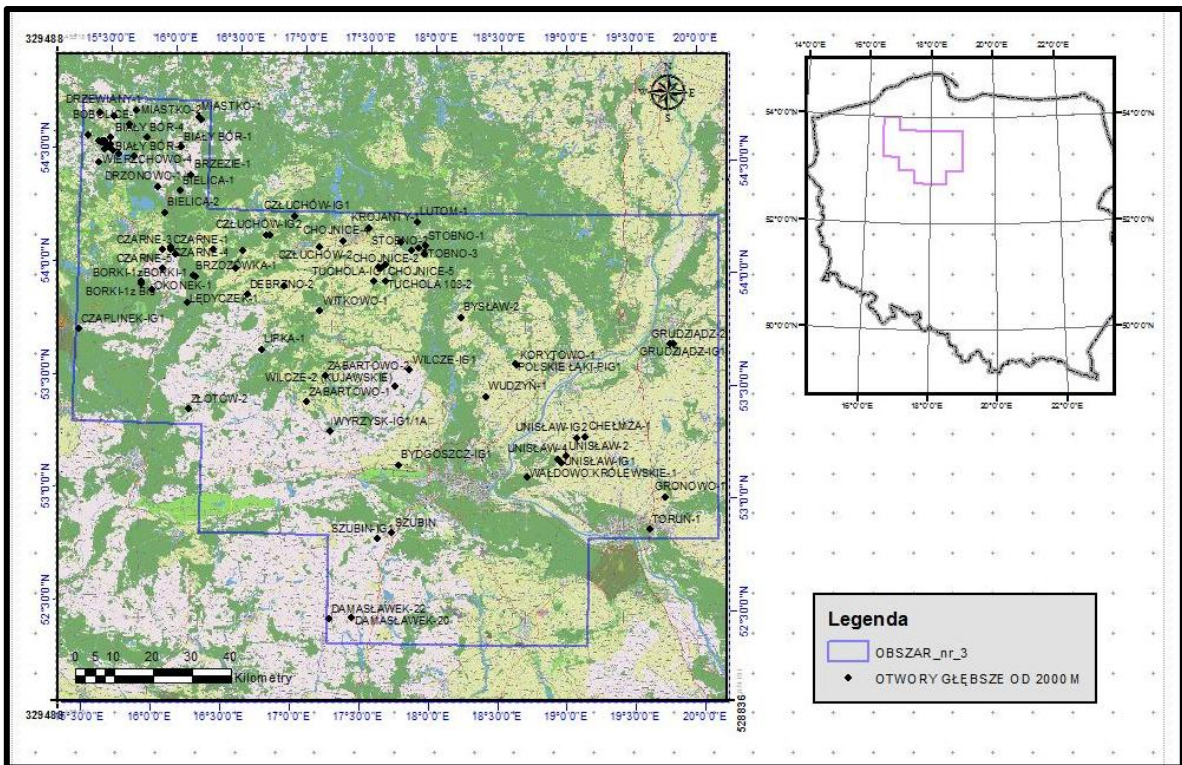
Załącznik 1. Dodatkowe ilustracje do artykułu Rafała Laskowicza, Marcina Bolka, Marii Gizun i Marcina Łojka pt. *Wyniki integracji danych geologiczno-złożowych o systemach węglowodorowych wschodniej części pomorskiej prowincji naftowej*

Appendix 1. Additional illustrations for the Rafał Laskowicz, Marcin Bolek, Maria Gizun and Marcin Łojek article *The results of the integration of geological data concerning hydrocarbon systems in the east part of Pomeranian Petroleum Province (NW Poland)*



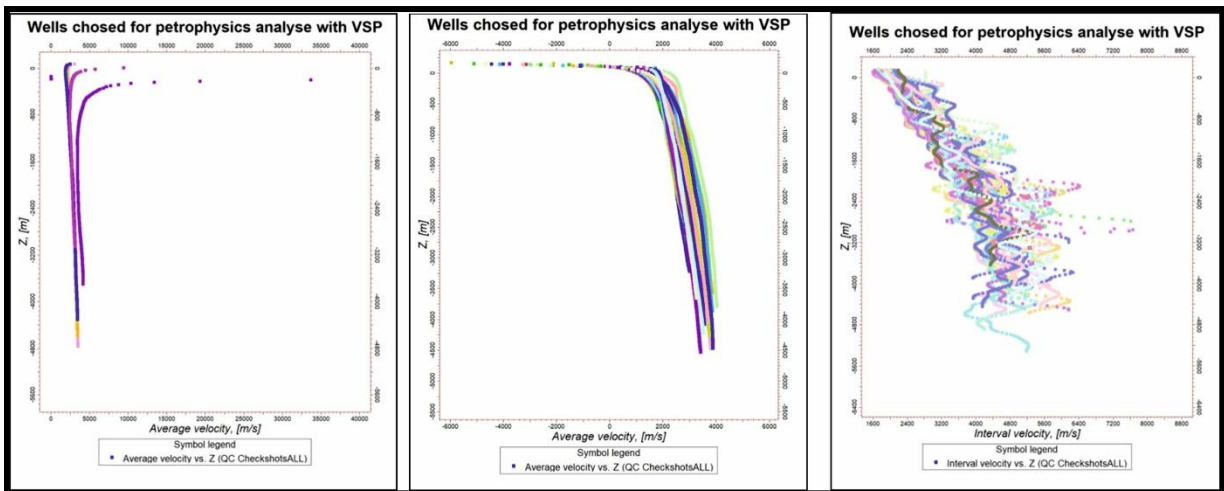
Ryc. 1. Obszar badań na tle mapy struktur solnych i obszarów poddanych inwersji alpejskiej (Krzywiec, 2022, uzupełnione)

Fig. 1. The area of investigation shown on the map of European Salt Structures and Alpine Areas of Tectonic Inversion in Europe (after Krzywiec, 2022, modified)



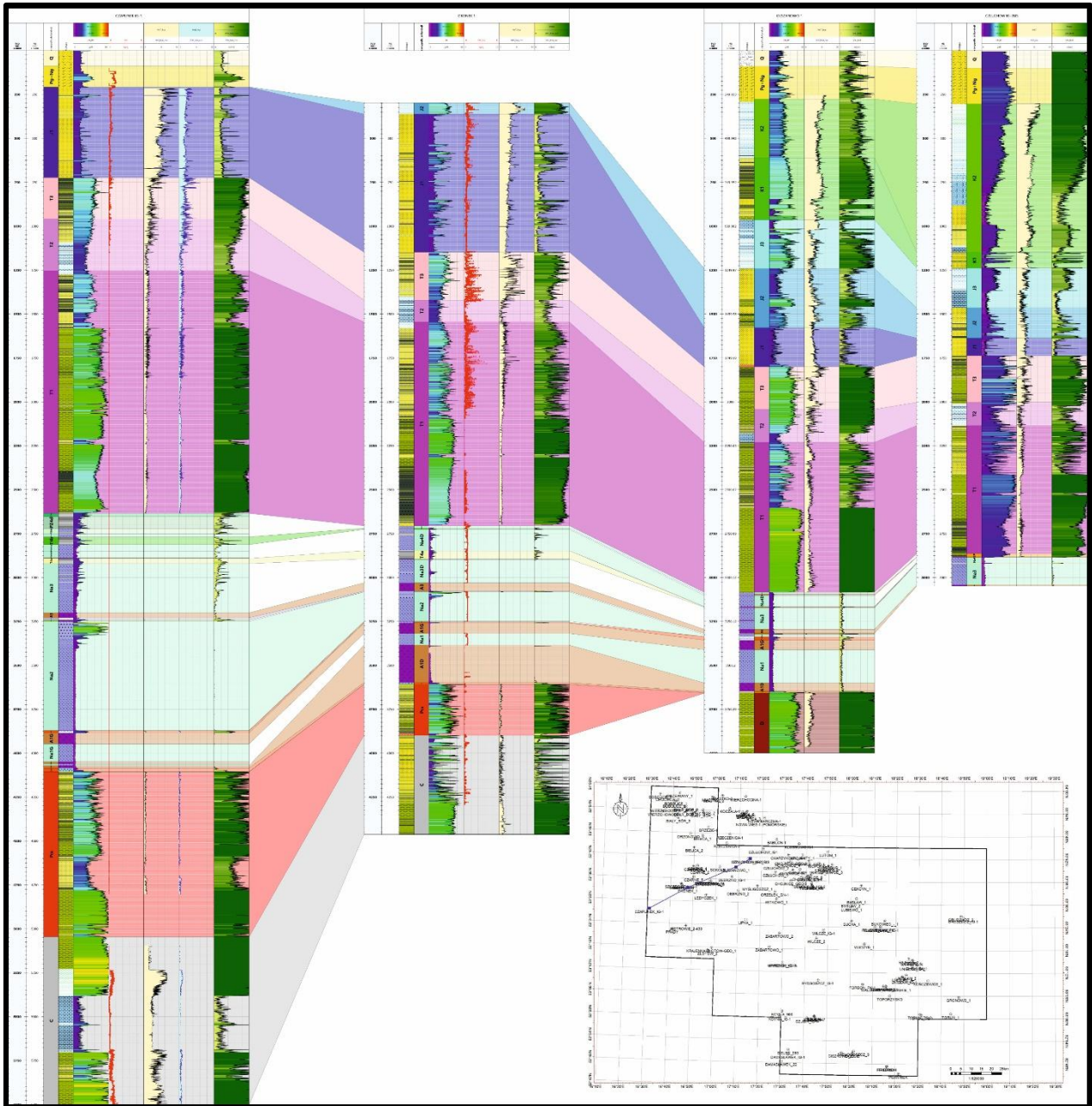
Ryc. 2. Lokalizacja obszaru 3, zaznaczono otwory osiągające głębokość większą od 2000 m

Fig. 2. Location of area no. 3, deep wells reaching more than 2000 m TD are plotted



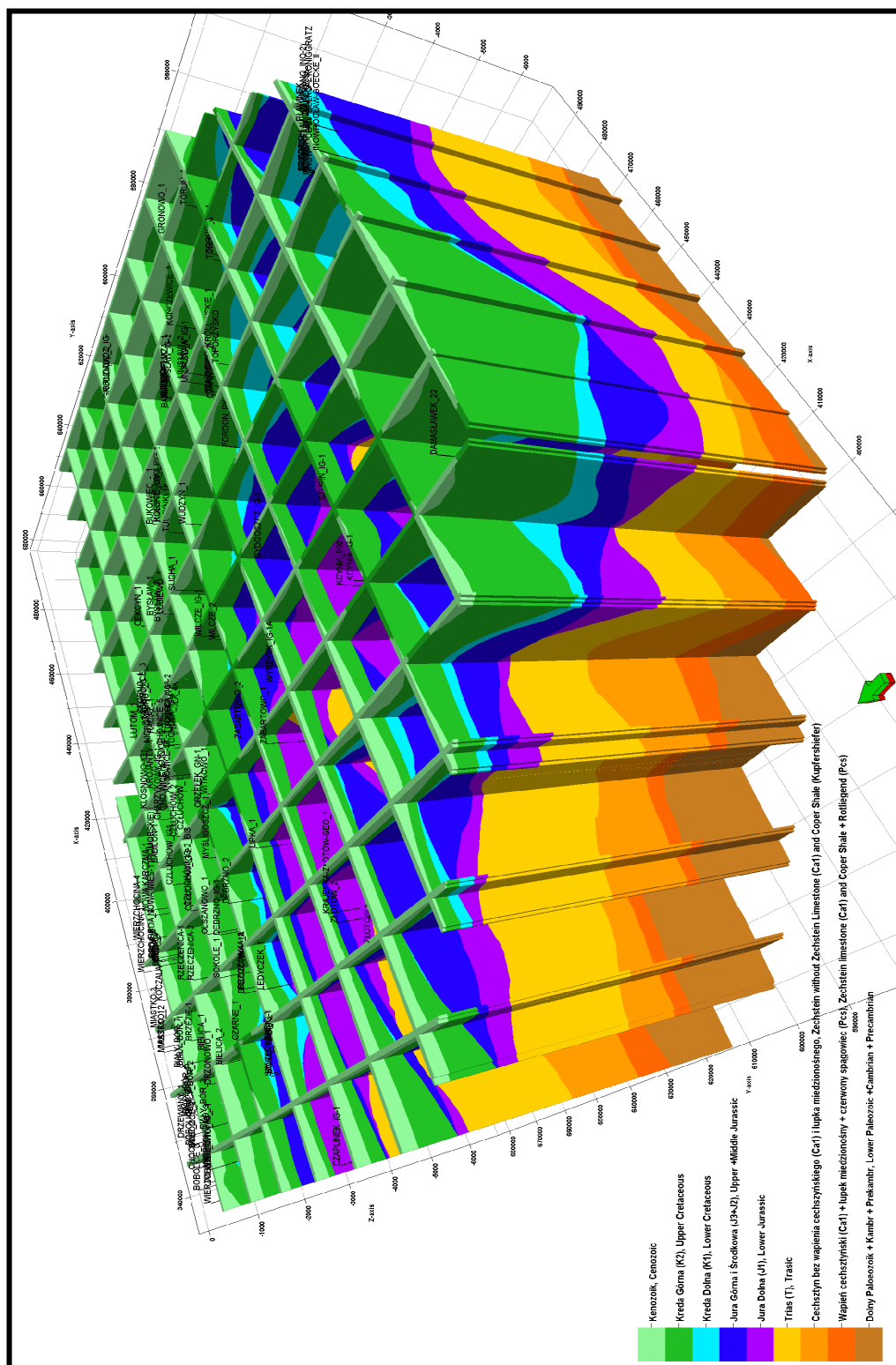
Ryc. 3. Weryfikacja prędkości pomierzonych w otworach na obszarze 3

Fig. 3. Velocities verification indicated on the plots was made for the deep wells drilled on area No. 3



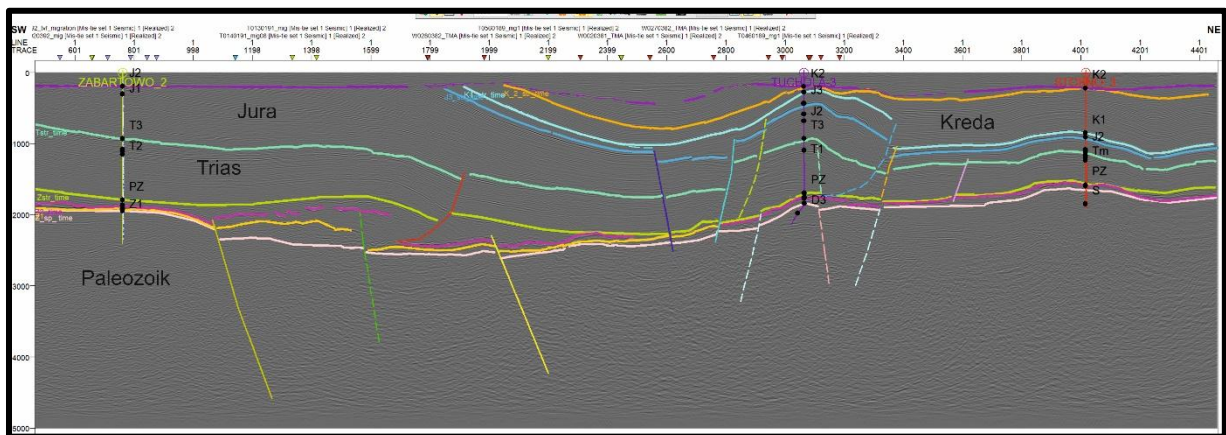
Ryc. 5. Przykładowa korelacja stratygrafii z właściwościami petrofizycznymi skał i ich parametrami istotnymi z punktu widzenia poszukiwań węglowodorów w wizualizacji 2D. Od prawej: Czaplinek IG-1, Okonek 1, Olszanowo 1, Człuchów IG-2 Bis. Opisy tracków od prawej: TVD, MD, litologia, stratygrafia, GR, PHIT, Vshale

Fig. 5. Example correlation of stratigraphy and chosen parameter logs, describing quality of rocks relating to hydrocarbon exploration visualized in 2D. Starting from the right side: Czaplinek IG-1, Okonek 1, Olszanowo 1, Człuchów IG-2 Bis



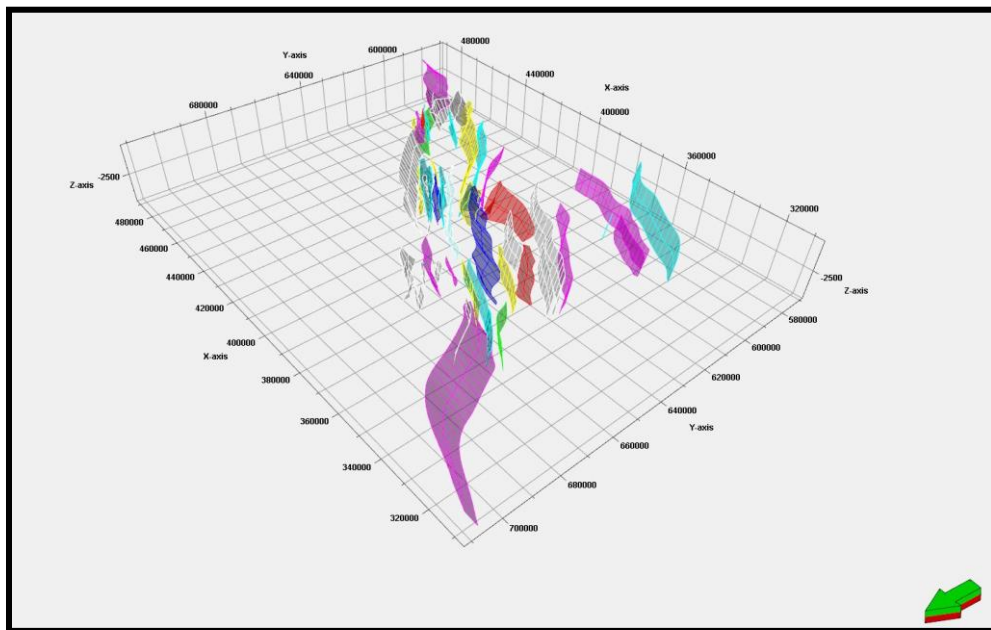
Ryc. 6. Model strukturalny, głębokościowy obszaru nr 3 na podstawie wydzielonych horzontów stratygraficznych

Fig. 6. 3D Structural model area No. 3 based on the correlated seismo-geologic horizons



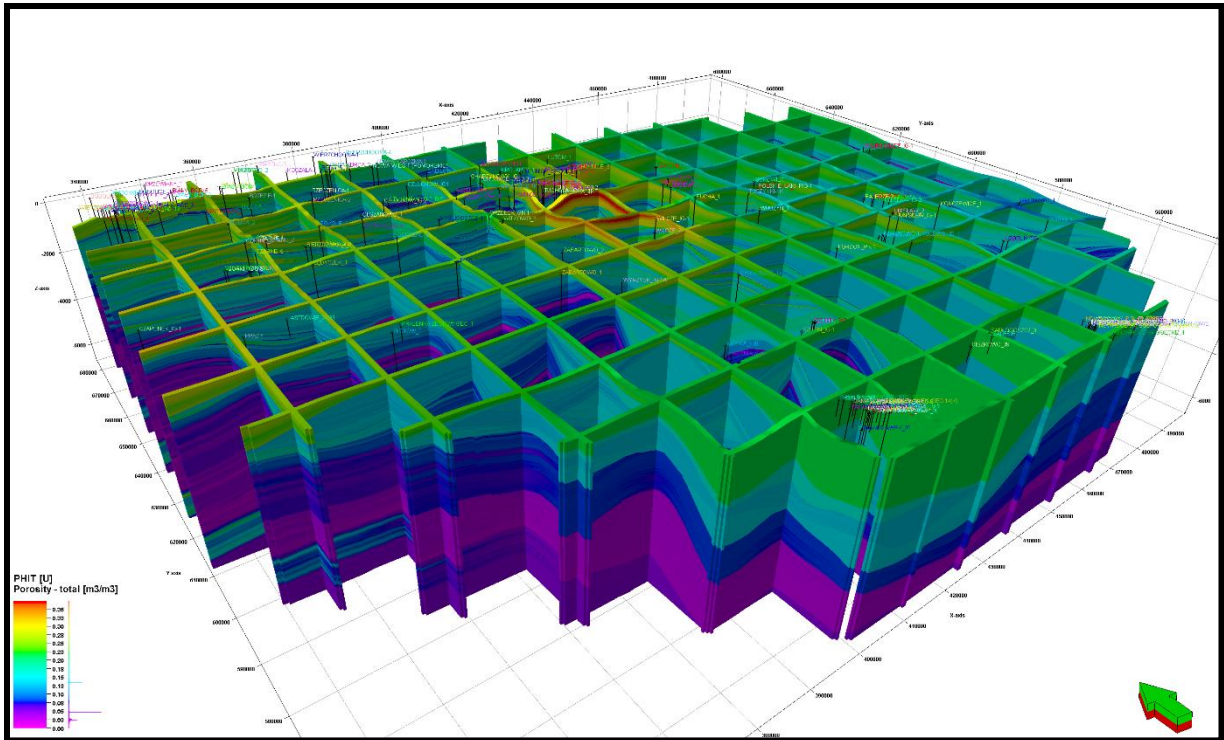
Ryc. 7. Przykładowy profil sejsmiczny obrazujący różny sposób deformacji tektonicznych cechsztynu w zależności od jego miąższości

Fig. 7. One of the Seismic Sections showed the differences in tectonic style in relations to the thickness of Zechstein salt. Left side of the picture - much more salt then the right sid



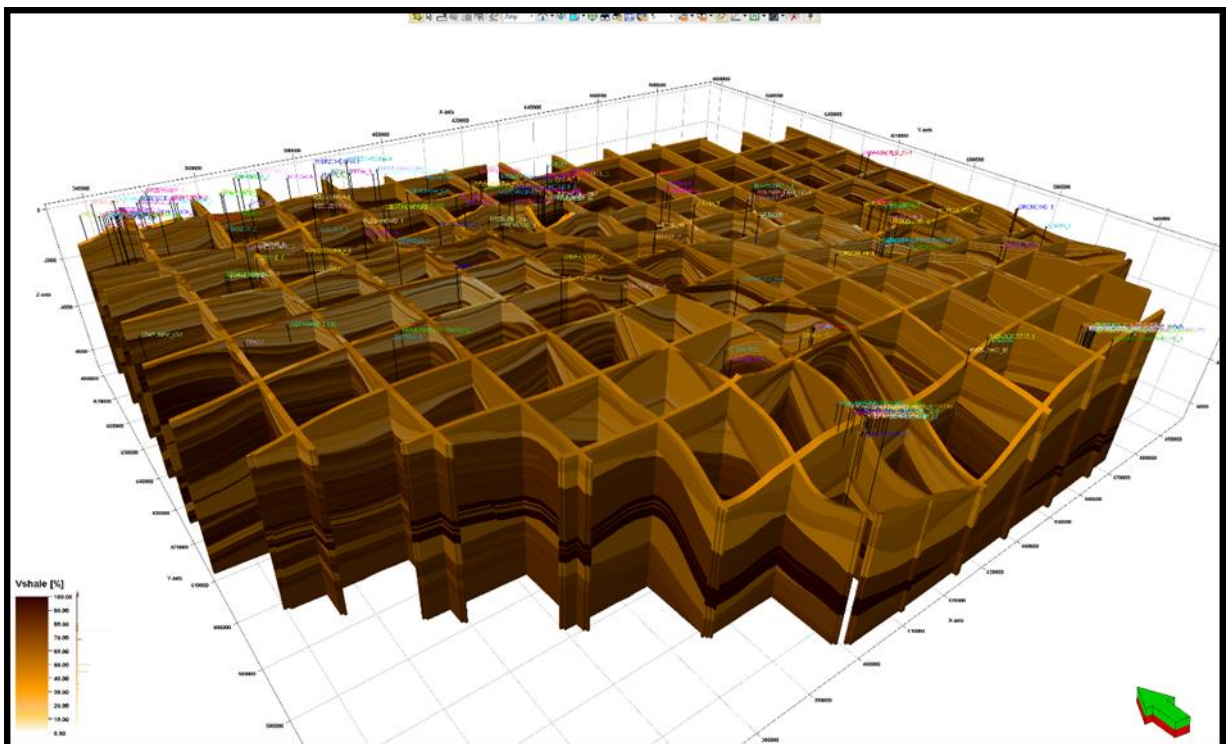
Ryc. 8. Przestrzenny model uskokowy obszaru nr 3; głębokość 500–3500 m p.p.t.

Fig. 8. Three dimensional fault model area No. 3; depth 500–3500 m below ground surface



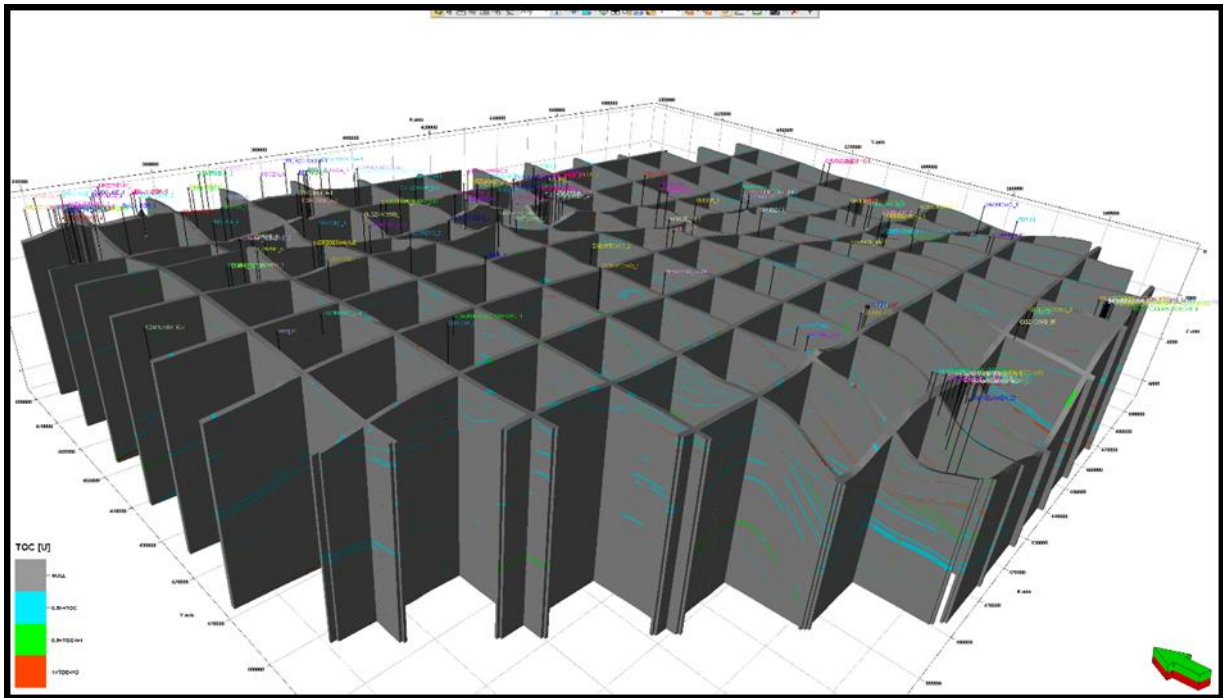
Ryc. 9. Model rozkładu porowatości całkowitej w obszarze nr 3

Fig. 9. Total Porosity parametric model in the area No. 3



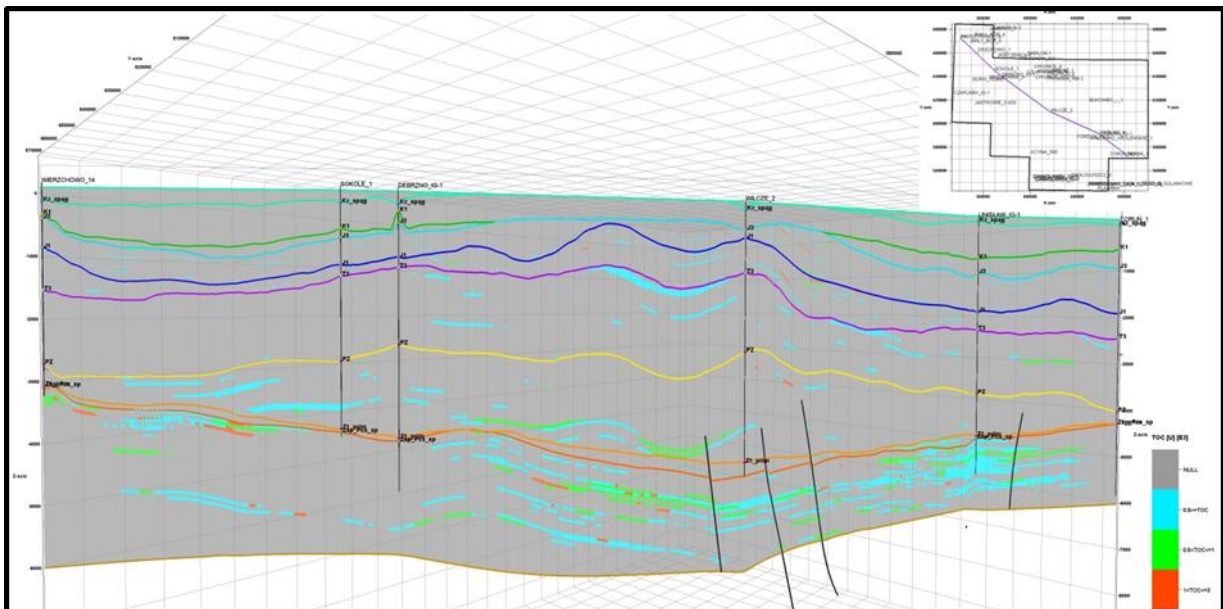
Ryc. 10. Model rozkładu zailenia w obszarze nr 3 – od stropu kredy do spągu paleozoiku

Fig. 10. Vshale parametric model in the area No. 3 – from top of Cretaceous to base of Paleozoic



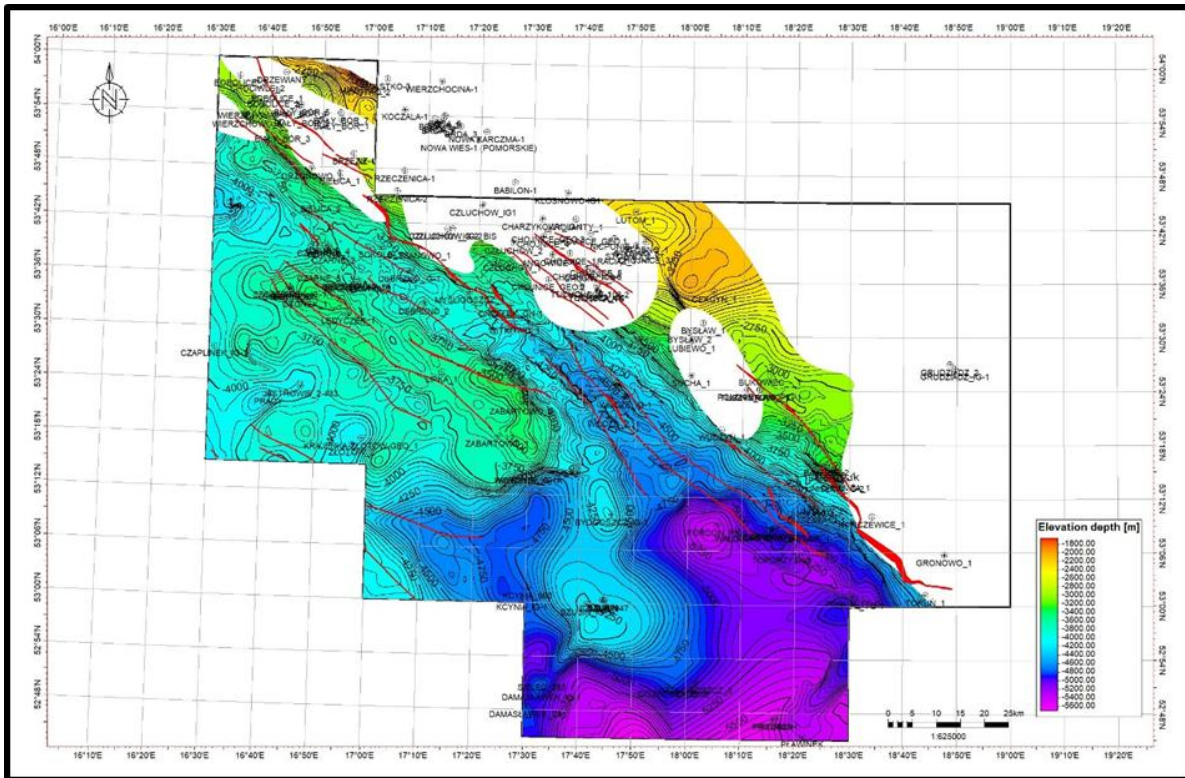
Ryc. 11. Model zmienności OWO (ogólnego węgla organicznego) w obszarze nr 3 – od stropu kredy do spągu paleozoiku

Fig. 11. TOC (Total Organic Carbon) parametric model prepared for the area No. 3 – from top of Cretaceous to base of Paleozoic



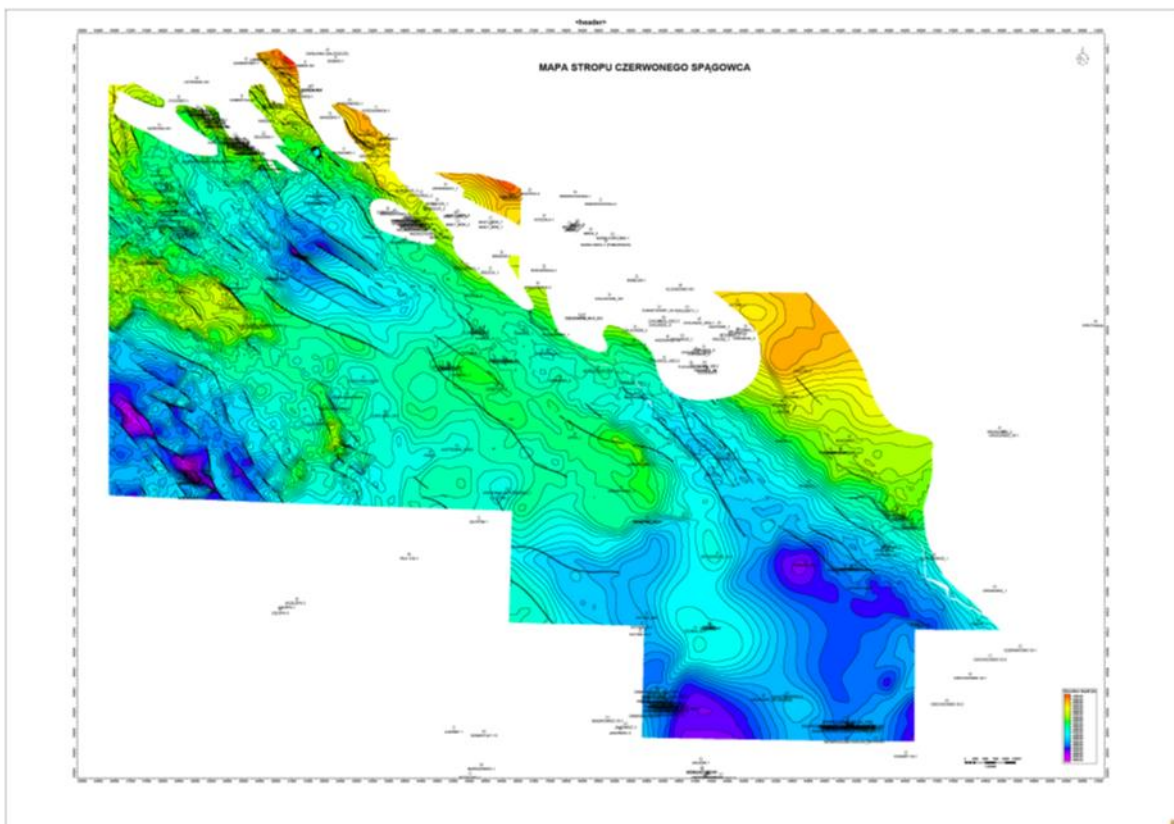
Ryc. 12. Rozkład OWO wzdłuż przekroju geologicznego modelu obszaru 3 na linii Wierzychowo–Toruń (NW-SE) – kolor szary – brak OWO, cyjan – <0,5% OWO, zielony – 0,5–1% OWO, czerwony – 1–3% OWO

Fig. 12. TOC distribution along the geological cross-section of the model of Area 3 along the Wierzychowo–Toruń line (NW-SE) – colours: grey – null TOC, cyan – <0.5% TOC, green – 0.5–1% TOC, red – 1–3% TOC



Ryc. 13. Mapa strukturalna stropu Z1 prim (strop paleozoicznego systemu naftowego) na obszarze badań

Fig. 13. Top of Z1 prim map (top of Paleozoic hydrocarbon system) for investigated area



Ryc. 14. Mapa stropu Pcs (czerwony spągowiec) łącząca wyniki z obszarów nr 2 i 3

Fig. 14. Top of Rotliegend deposits (Pcs) which connect some results of works done for areas No. 2 and 3